

超流動ヘリウム3の エッジ状態とエッジカレント

岡山大学自然科学研究科

堤康雅, 水島健, 市岡優典, 町田一成

Edge state for A- and B-phases



Order parameter



Time reversal symmetry



Andreev bound state
(Majorana fermion)

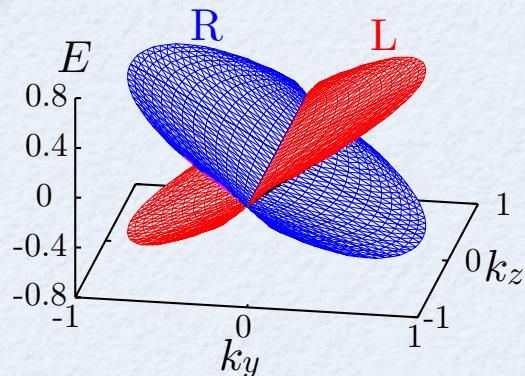


Edge current

A-phase

$$(k_x + ik_y)d_z$$

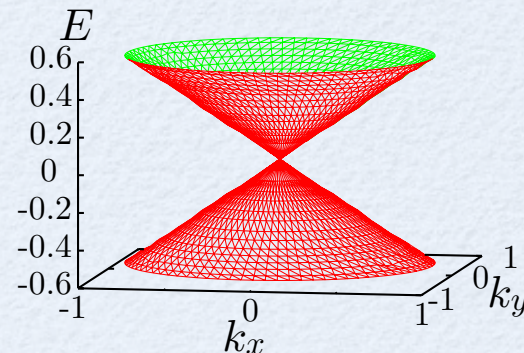
broken



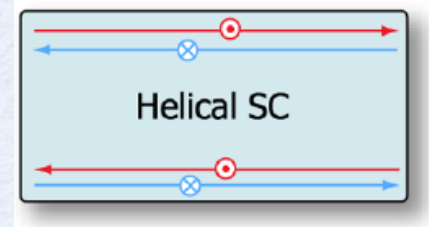
B-phase

$$k_x d_x + k_y d_y + k_z d_z$$

unbroken



mass current



spin current

目的

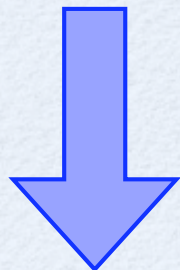
LDOS, edge current (大きさ, 温度変化)に注目して,
A相とB相の性質の違いがどのように反映されるかを明らかにする.
Intrinsic angular momentum.

Quasi-classical theory

$\Delta/E_F \ll 1$ superfluid ${}^3\text{He}$: $\sim 10^{-3}$

Eilenberger方程式

$$-i\hbar\mathbf{v}_F \cdot \nabla \hat{g}(\mathbf{k}_F, \mathbf{r}, \omega_n) = \left[\begin{pmatrix} i\omega_n \hat{1} & -\hat{\Delta}(\mathbf{k}_F, \mathbf{r}) \\ \hat{\Delta}^\dagger(\mathbf{k}_F, \mathbf{r}) & -i\omega_n \hat{1} \end{pmatrix}, \hat{g}(\mathbf{k}_F, \mathbf{r}, \omega_n) \right]$$



Matsubara frequency: $\omega_n = (2n + 1)\pi k_B T$

$$\hat{g} = -i\pi \begin{pmatrix} \hat{g} & i\hat{f} \\ -i\hat{f} & -\hat{g} \end{pmatrix} = -i\pi \begin{pmatrix} (\hat{1} + \hat{a}\hat{b})^{-1} & 0 \\ 0 & (\hat{1} + \hat{b}\hat{a})^{-1} \end{pmatrix} \begin{pmatrix} \hat{1} - \hat{a}\hat{b} & 2i\hat{a} \\ -2i\hat{b} & -(\hat{1} - \hat{b}\hat{a}) \end{pmatrix}$$

Riccati方程式

$$\begin{aligned} \hbar\mathbf{v}_F \cdot \nabla \hat{a}(\mathbf{k}_F, \mathbf{r}, \omega_n) &= \hat{\Delta} - \hat{a}(\mathbf{k}_F, \mathbf{r}, \omega_n) \hat{\Delta}^\dagger \hat{a}(\mathbf{k}_F, \mathbf{r}, \omega_n) - 2\omega_n \hat{a}(\mathbf{k}_F, \mathbf{r}, \omega_n) \\ -\hbar\mathbf{v}_F \cdot \nabla \hat{b}(\mathbf{k}_F, \mathbf{r}, \omega_n) &= \hat{\Delta}^\dagger - \hat{b}(\mathbf{k}_F, \mathbf{r}, \omega_n) \hat{\Delta} \hat{b}(\mathbf{k}_F, \mathbf{r}, \omega_n) - 2\omega_n \hat{b}(\mathbf{k}_F, \mathbf{r}, \omega_n) \end{aligned}$$

オーダーパラメーターのエッジでの空間変化を仮定して,
Riccati方程式を解析的に解く.

Edge current and LDOS



Temperature dependence

$$\hat{g} = \begin{pmatrix} g_0 + g_z & g_x - ig_y \\ g_x + ig_y & g_0 - g_z \end{pmatrix}$$

mass current: $\mathbf{j}(\mathbf{r}, T) = m N_0 \pi k_B T \sum_{\omega_n} \langle \mathbf{v}_F \text{Im}[g_0(\mathbf{k}_F, \mathbf{r}, \omega_n)] \rangle_{\mathbf{k}_F}$

spin current: $\mathbf{j}_s^\mu(\mathbf{r}, T) = \frac{\hbar}{2} N_0 \pi k_B T \sum_{\omega_n} \langle \mathbf{v}_F \text{Im}[g_\mu(\mathbf{k}_F, \mathbf{r}, \omega_n)] \rangle_{\mathbf{k}_F}$



Energy spectrum

mass current:

$$\mathbf{j}(\mathbf{r}, E) = \langle \mathbf{j}(\mathbf{k}_F, \mathbf{r}, E) \rangle_{\mathbf{k}_F} = m N_0 \langle \mathbf{v}_F \text{Re}[g_0(\mathbf{k}_F, \mathbf{r}, \omega_n)|_{i\omega_n \rightarrow E + i\eta}] \rangle_{\mathbf{k}_F}$$

spin current:

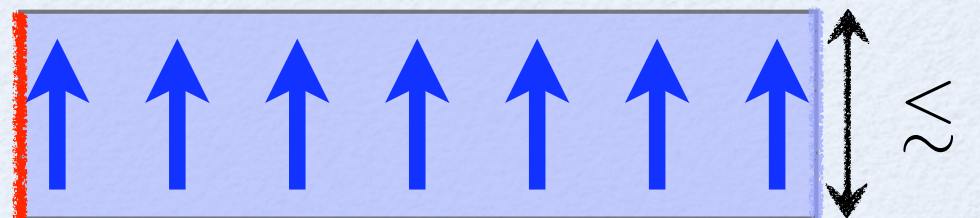
$$\mathbf{j}_s^\mu(\mathbf{r}, E) = \langle \mathbf{j}_s^\mu(\mathbf{k}_F, \mathbf{r}, E) \rangle_{\mathbf{k}_F} = \frac{\hbar}{2} N_0 \langle \mathbf{v}_F \text{Re}[g_\mu(\mathbf{k}_F, \mathbf{r}, \omega_n)|_{i\omega_n \rightarrow E + i\eta}] \rangle_{\mathbf{k}_F}$$

local density of states (LDOS):

$$N(\mathbf{r}, E) = \langle N(\mathbf{k}_F, \mathbf{r}, E) \rangle_{\mathbf{k}_F} = N_0 \langle \text{Re}[g_0(\mathbf{k}_F, \mathbf{r}, \omega_n)|_{i\omega_n \rightarrow E + i\eta}] \rangle_{\mathbf{k}_F}$$

System for A-phase

l-vector

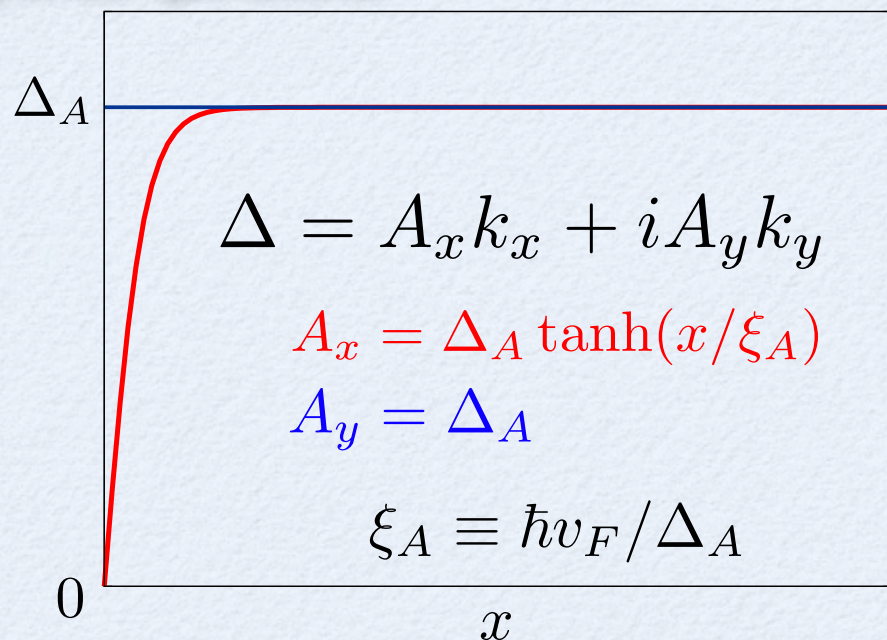


$$\lesssim 10\xi \sim 1\mu\text{m}$$

specular edge

$$x = 0$$

Order parameter



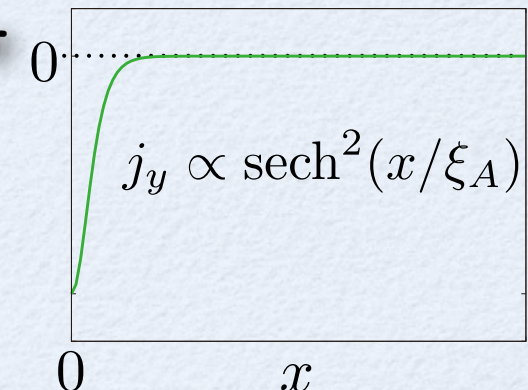
analytic solution: $(k_x = \cos \phi \sin \theta, k_y = \sin \phi \sin \theta)$

$$g_0 = \frac{1}{\sqrt{\omega_n^2 + \Delta_A^2 \sin^2 \theta}} \left[\omega_n + \frac{\Delta_A^2 \sin^2 \theta \cos^2 \phi}{2(\omega_n + i\Delta_A \sin \theta \sin \phi)} \operatorname{sech}^2 \left(\frac{x}{\xi_A} \right) \right]$$

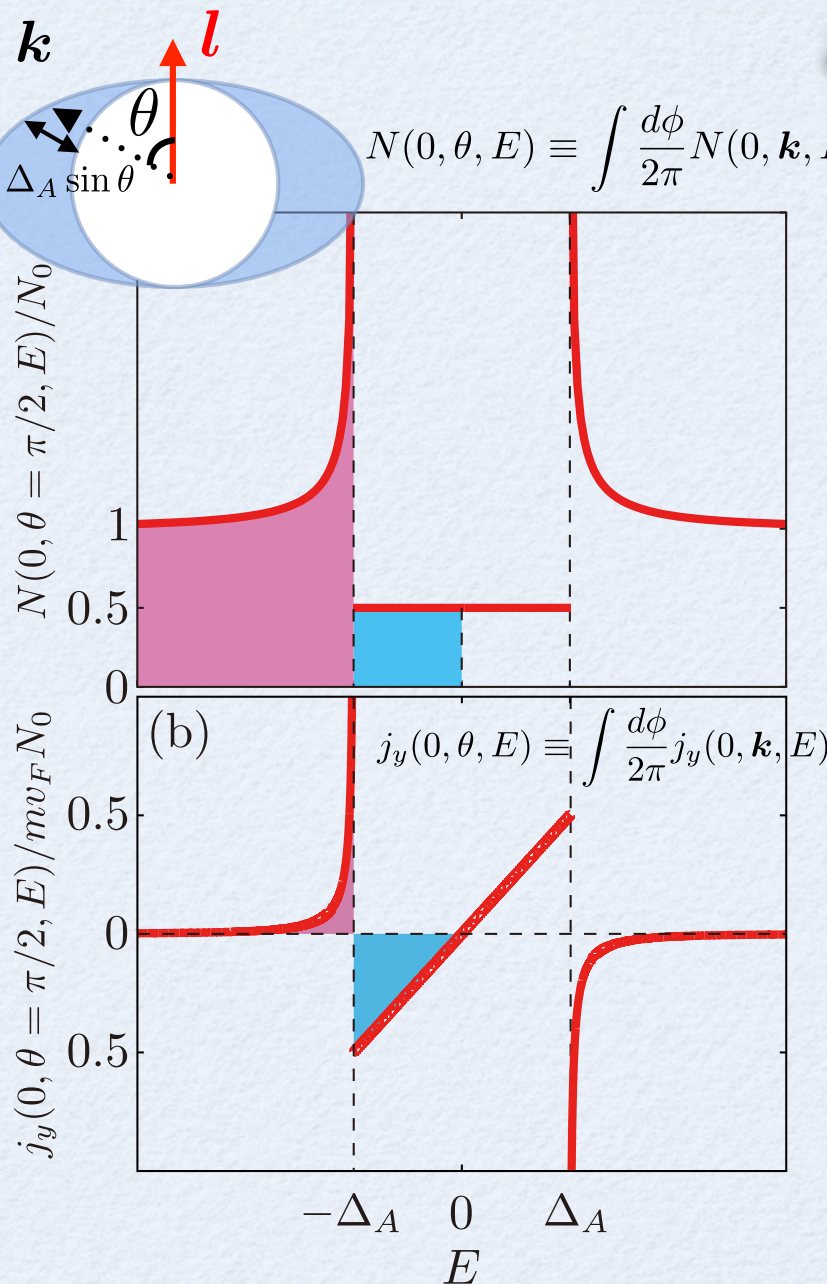
bulk

edge state

Edge mass current



LDOS and edge mass current



LDOS

bound state: $|E| < \Delta_A \sin \theta$

$$N(0, \theta, E) = \frac{N_0}{2} \quad \text{constant}$$

continuum state: $|E| > \Delta_A \sin \theta$

$$N(0, \theta, E) = \frac{N_0}{2} \left(\frac{|E|}{\sqrt{E^2 - \Delta_A^2 \sin^2 \theta}} + 1 \right)$$

edge state

Edge mass current

bound state:

$$j_y(0, \theta, E) = \frac{mv_F N_0}{2} \frac{E}{\Delta_A} \quad \text{E-linear}$$

continuum state:

$$\begin{aligned} j_y(0, \theta, E) &= -\frac{mv_F N_0}{4} \left(\text{sgn}(E) \frac{\sqrt{E^2 - \Delta_A^2 \sin^2 \theta}}{\Delta_A} + \frac{E|E|}{\Delta_A \sqrt{E^2 - \Delta_A^2 \sin^2 \theta}} - 2 \frac{E}{\Delta_A} \right) \\ &\approx -\frac{mv_F N_0}{16} \sin \theta \left(\frac{\Delta_A \sin \theta}{E} \right)^3 \quad (|E| \gg \Delta_A \sin \theta) \end{aligned}$$

ギャップから離れると E^{-3} で減衰。

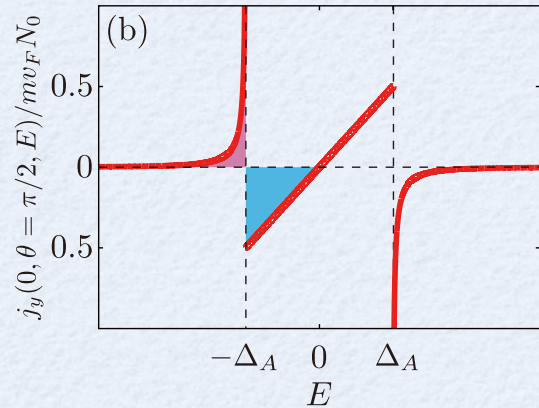
マスカレントを運ぶのは、
ギャップ近傍の準粒子だけではない。

Total current and angular momentum

Zero temperature



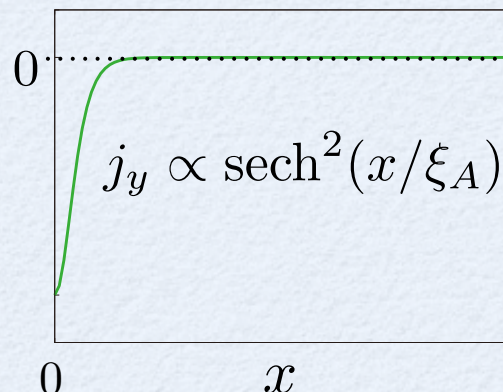
Total mass current



$$J_y^{\text{bound}} = \int_0^\infty dx \left\langle \int_{-\Delta_A \sin \theta}^0 dE j_y(x, \mathbf{k}, E) \right\rangle_{\mathbf{k}} = -\frac{n\hbar}{2}$$

$$J_y^{\text{cont}} = \int_0^\infty dx \left\langle \int_{-\infty}^{-\Delta_A \sin \theta} dE j_y(x, \mathbf{k}, E) \right\rangle_{\mathbf{k}} = \frac{n\hbar}{4}$$

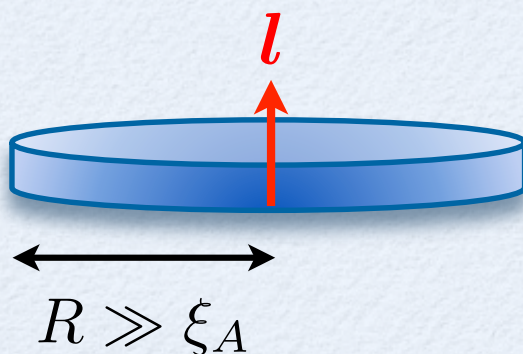
$$\left(N_0 = \frac{3}{mv_F^2} n \right)$$



$$J_y = J_y^{\text{bound}} + J_y^{\text{cont}} = -\frac{n\hbar}{4}$$



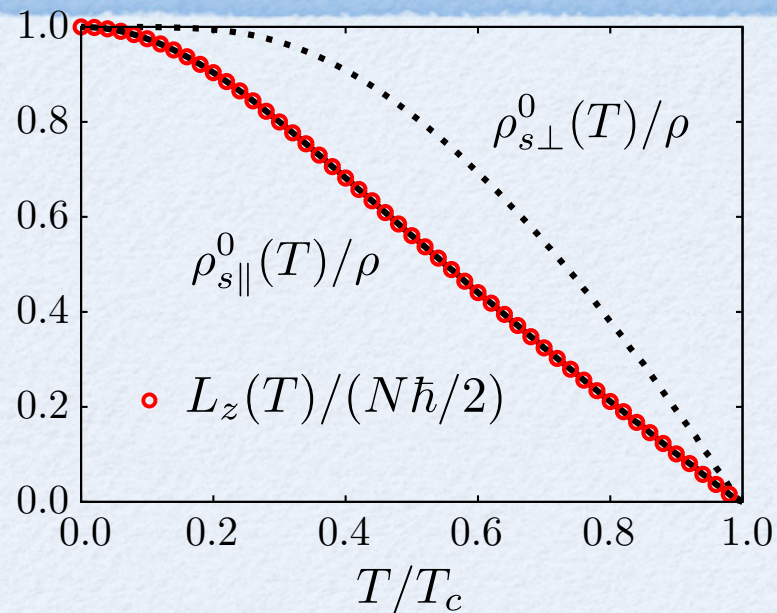
Angular momentum



$$L_z = \frac{N\hbar}{2}$$

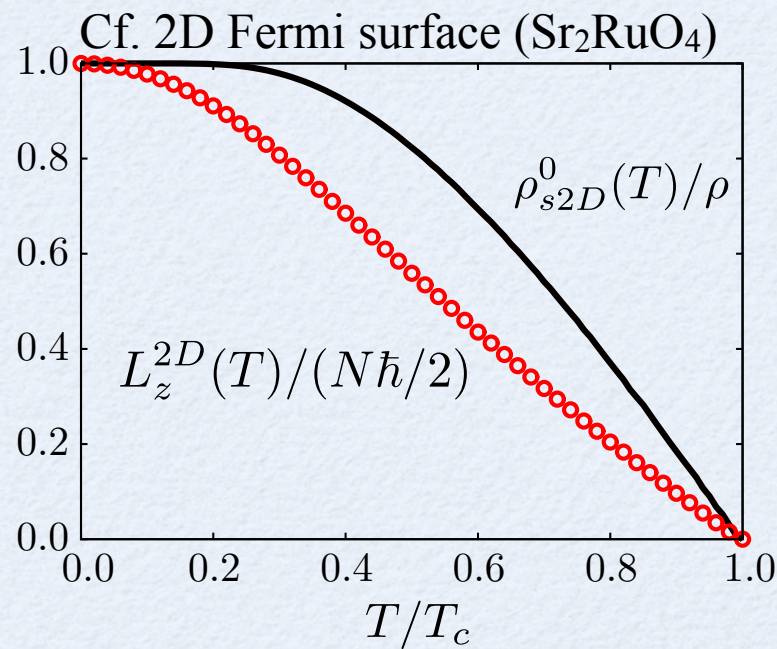
(N : number of ${}^3\text{He}$ atoms in slab)

Temperature dependence



$$L_z(T)/(N\hbar/2) = \rho_{s\parallel}^0(T)/\rho$$

偶然？

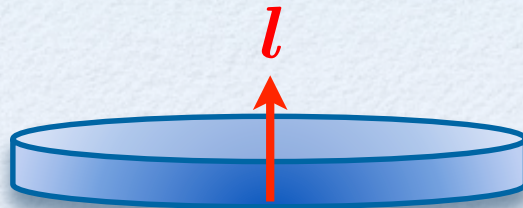


$$\begin{aligned} L_z(T) &= \frac{3}{4} N \hbar \frac{\pi k_B T}{\Delta_A} \sum_{\omega_n} \left[\frac{3\omega_n^2 + \Delta_A^2}{\Delta_A^2} \sin^{-1} \frac{\Delta_A}{\sqrt{\omega_n^2 + \Delta_A^2}} - 3 \frac{|\omega_n|}{\Delta_A} \right] \\ &= \frac{N \hbar}{2} \left[1 - \left(\frac{\pi k_B T}{\Delta_A} \right)^2 + O \left(\frac{\pi k_B T}{\Delta_A} \right)^4 \right] \quad (\pi k_B T \ll \Delta_A) \end{aligned}$$

bound state
(E-linear)

continuum state
(point node)

Intrinsic angular momentum



$$L_z = \frac{N\hbar}{2}$$

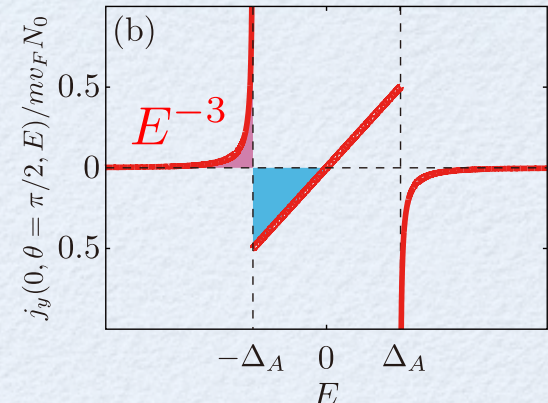


Intrinsic angular momentum problem

クーパー対の角運動量の和が全角運動量として現れるのか？

N 個のヘリウム3原子全てがクーパー対を組み、それぞれが自の角運動量を運ぶ。

角運動量は超流動密度と同様の温度変化をする。



本研究の結果

エッジカレントを運ぶのはギャップ近傍の準粒子だけではないが、全準粒子が運んでいるわけではない。 N は状態密度 $N_0 = \frac{3}{mv_F^2} n$ を通して現れる。

$$L_z(T)/(N\hbar/2) = \rho_{s\parallel}^0(T)/\rho$$

但し、偶然の一致の可能性あり。
低温での変化は表面束縛状態のギャップレス励起による。
2Dフェルミ面の場合は異なる温度変化。

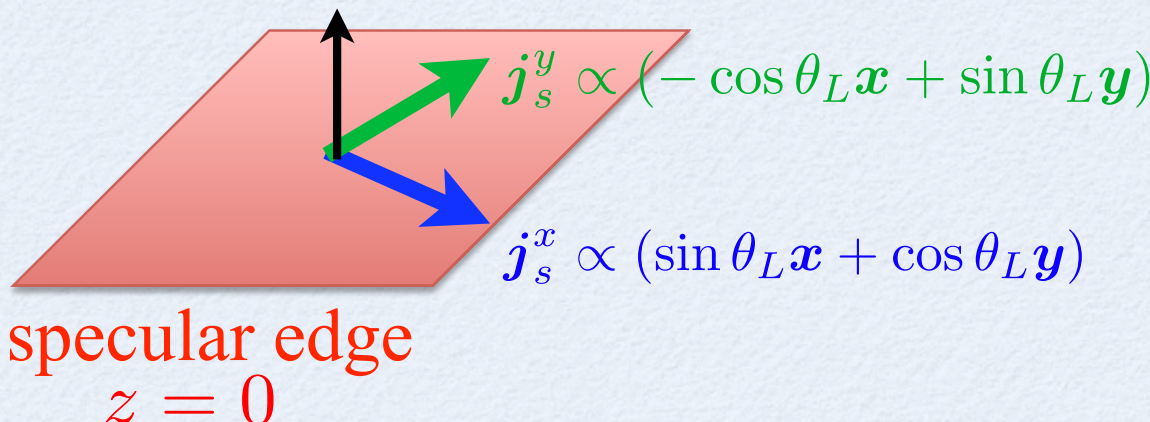
B-phase



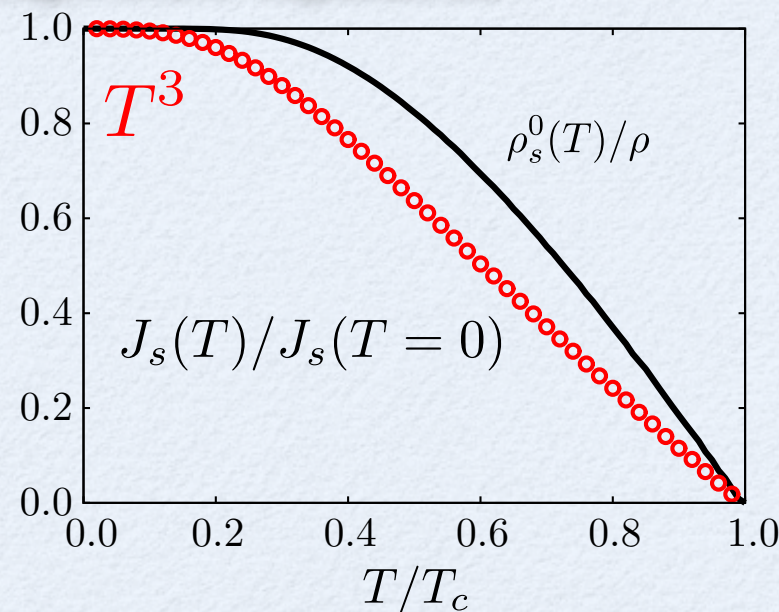
$$\Delta = \Delta_B R(z, \theta_L)(k_x \mathbf{x} + k_y \mathbf{y} + k_z \mathbf{z})$$

n-vector

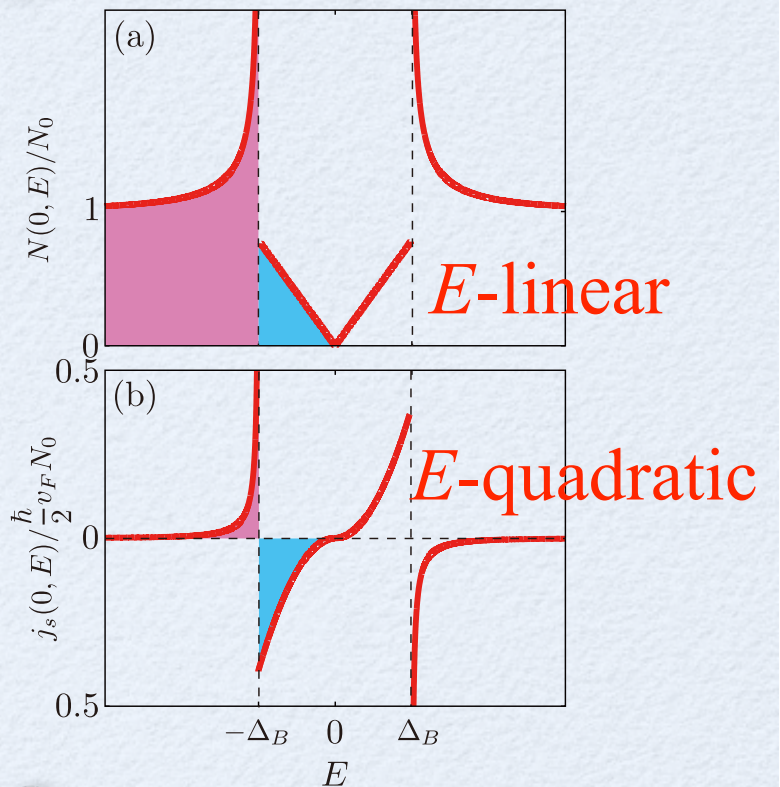
$$\theta_L = \cos^{-1}(-1/4) \approx 104^\circ$$



Temperature dependence



LDOS and edge spin current



Total spin current

$$|J_s| = \frac{\hbar}{2m} \frac{n\hbar}{6}$$

Cf. mass current in A-phase

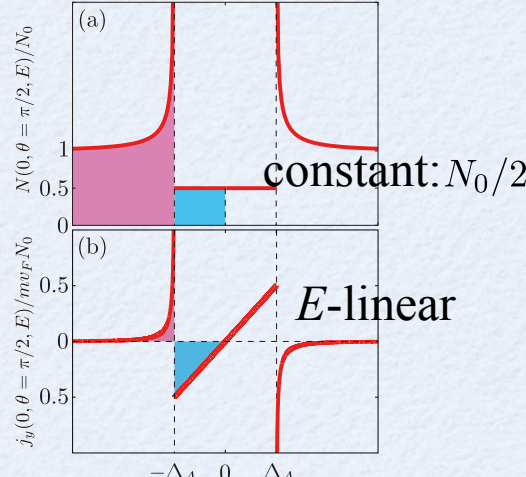
$$|J| = \frac{n\hbar}{4}$$

Summary

A相とB相の性質の違いがエッジ状態にどのように反映されるかを
準古典理論に基づくRiccati方程式を解析的に解くことで研究した。

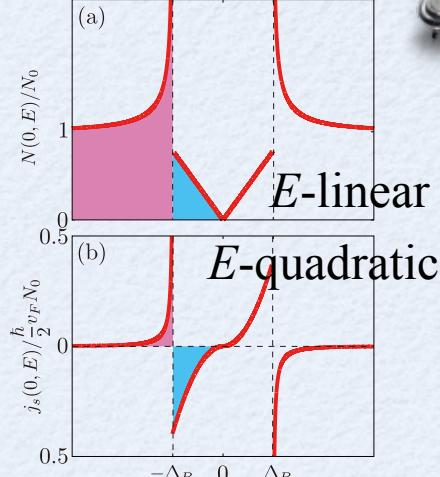
LDOS

A-phase



Edge current

B-phase



Total current

$$|J| = \frac{n\hbar}{4}$$

$$|J_s| = \frac{\hbar}{2m} \frac{n\hbar}{6}$$

Angular momentum

$$L_z = \frac{N\hbar}{2}$$

クーパー対の角運動量が直接現れているのではなさそう。

Temperature dependence

